

II-100 垂直噴流に沿うす境界の影響 (方2報)

建設省 土木研究所

正員 土屋昭彦

東京工業大学

正員 河野二夫

1. 考え方

垂直二次元噴流に沿うす境界の影響については、既に側壁、および床板の影響により、噴流の流速分布が自由噴流のそれに比べてかなり変化することを明らかにしたが、今回は更に床板の近傍に沿うる流れについて考察を試み、床板に沿う流れの流速分布式を求めた。

2. 床板附近の流速分布

自由噴流に沿うる流速分布は、H. Görtler によつて

$$\frac{U}{U_{max}} = \operatorname{sech}^2 \eta, \quad \eta = \sqrt{\frac{y}{x_0}} \quad (1)$$

の様に与えられており、 η の値は Reichardt によれば 7.67 である。流れが床板に近づくにつれて、 x 方向の流速が減少し噴流の中が拡がるが、実験によれば、図-2 に示す如く $\eta = 5.0$ とし(1)式の関係を満足するようである。

噴流の最大流速 U_{max} の減少の仕方は、先に示した如く⁽¹⁾ (η) に反比例していふが、 $x/x_0 = 0.9 \sim 1.0$ で床板の影響をうけ、 U_{max} は急激に減少する。この領域での流速減少については、図-3 に示される如くであり、(2)式の如くに表示される。

$$\frac{U_{max}}{U_i} = \sqrt{x} \operatorname{tanh} \left(\frac{x_0 - x}{x_i} \right) \quad (2)$$

U_i は床板がないものと考えた時の x_0 における U_{max} の値である。この床板近傍での流速のひい減は、床板に接する喷流の流速と、その分布に關係あるひい減り、逆に、シングルは(2)式の無次元化的指標 x_i とし、床板がない場合の x_0 地面上に沿うる自由噴流の底より中間に關係あるものと想え、 $x_i = \frac{1}{2} x_0$ とおくことにした。この実験に沿うる自由噴流の中の縮がりは

$$b = 0.3 x \quad (3)$$

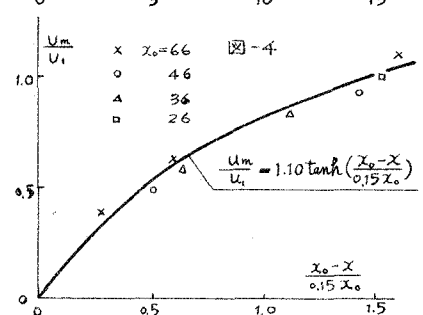
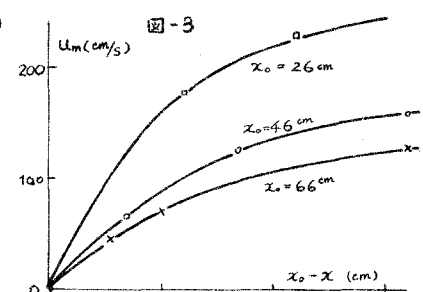
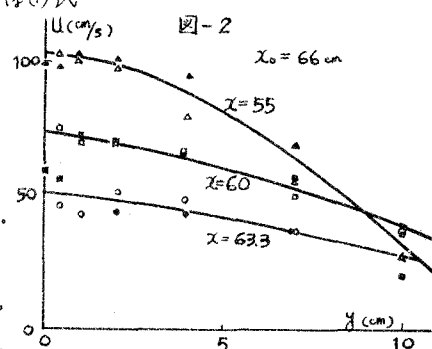
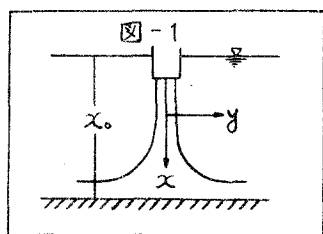
と切るから、 $x_i = \frac{1}{2} \cdot 0.3 x_0 = 0.15 x_0$ となり、これを因示すと図-4 の如くひいは 1.10 となる。

3. 床板近傍の流れ

床板に接する喷流は、これに沿う流れをほり床板に沿うる境界層が発達する。境界層の発達を考慮する場合には、境界層外縁の流速分布を求める必要があるが、この流れはオーネシタル流れと假定してよいひいだ。

x 方向の流速分布として、(1), (3)式を考慮すれば、次式を得る。

$$\frac{U}{U_i} = \operatorname{tanh} \left(\frac{x_0 - x}{x_i} \right) \operatorname{sech}^2 \eta, \quad \eta = \sqrt{\frac{y}{x_0}} \quad (4)$$



これを用いて連続の式から、 U の分布は(5)式の如くに与えられる。

$$\frac{U}{U_1} = \frac{\alpha Z}{\alpha Z_1} \left\{ 1 - \tanh^2 \left(\frac{Z-Z_1}{Z_1} \right) \right\} \tanh \eta + \frac{2\alpha}{\infty} \tanh \left(\frac{Z-Z_1}{Z_1} \right) F(\eta) \quad (5)$$

$$F(\eta) = \int \eta \operatorname{sech}^2 \eta \cdot \tanh \eta \, d\eta$$

$F(\eta)$ は近似計算により、 $\eta < \frac{\pi}{2}$ に於いて表-1の如くに表される。 (5) 式を用いて実験結果と比較したところ、図-5、6、7に示す如く、ほぼ一致することが認められた。

最大流速は、 $Z=Z_1$ に於いて生じ、その分布は(6)

式によつて表わされる。

$$\frac{U}{U_1} = \frac{\alpha Z_1}{\alpha Z_1} \tanh \eta \quad (6)$$

この関係を図示したのが図-6である。

この中に実験値の最大値(これは床板

より少し上に生ずる)を記入した。図

中の破線は、土屋義人⁽²⁾による粗面床板

に対する実験式で、次式が与えられる。

$$\frac{U}{U_1} = 0.540 \frac{Y}{Z_1} / \left(0.0628 + \frac{Y}{Z_1} \right) \quad (7)$$

著者等の計算結果は、 $\frac{U}{U_1} > 0.2$ は勿

い実測値とはずれるが、この領域に

なると、ホテンシベル流れ以外に、一方向の拡散の効果と、境界層の発達による流速減少を考慮する必要がある。すなはち、 X_1 とは、 U 方向の流速分布を決めるのに重要な要素であり、これの物理的意義をより明確にする必要がある。

4 床板における全圧力

床板のうける動水圧は、自由噴流とえた場合の Z_1 に加ける運動量を圧力に換算して得られる。流速分布として、(1)式を用いて Z_1 に加ける全圧力、 ΣP を求めると、(8)式の如くになる。

$$\Sigma P = \frac{P}{Z} \int_{-\infty}^{+\infty} U_{max}^2 \operatorname{sech}^4 \eta \, dy = \frac{2}{3} \frac{\rho Z_1}{\infty} U_{max}^2 (Z = Z_1) \quad (8)$$

床板に加ける動水圧の分布曲線から、 $U_{max}(Z = Z_1)$ を用いて(8)式を計算し、 α の値を求めたところ、表-2の如くになり、 α はほどとてよどむことによがゆがある。即ち、最大流速の2/3減衰則とし

$$\frac{U_0}{U_m} = 1.5 \left(\frac{Z}{Z_1} \right)^{-\frac{1}{2}}$$

を用い $\alpha = 7$ とすれば、任意の位置に加ける、床板のうける圧力を求めることができる。

参考文献 ⁽¹⁾ 第20回年次学術講演会概要 ⁽²⁾ 京都大学防災研究所洋報第2号

表-1

η	$F(\eta)$
0.1	3.3×10^{-4}
0.2	2.58×10^{-3}
0.3	8.39×10^{-3}
0.4	2.13×10^{-2}
0.5	3.44×10^{-2}
0.6	5.51×10^{-2}
0.7	0.76×10^{-1}
0.8	1.09×10^{-1}
0.9	1.40×10^{-1}
1.0	1.74×10^{-1}

図-5

